

Lezione 8

Struttura dei polimeri

AMORFA ①

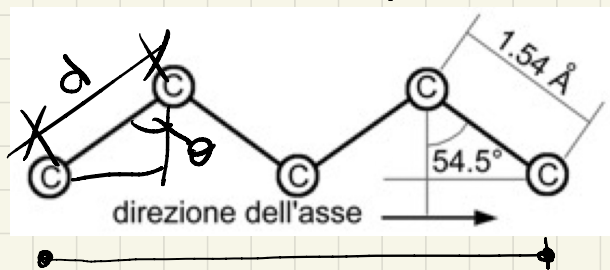
SEMICRISTALLINA

Condizioni ①

- PRESENZA di GRUPPI LATERALI (ATATICO) → COMPOSIZIONE
- CATENE RAMIFICATE → CONFIGURAZIONE

Condizioni ②

- VELOCITÀ di RAFFREDDAMENTO
- ASSUNZIONE di GRUPPI LATERALI (ISOTATICO o SINTATICO)
- CATENE LINEARI
- BASE VELOCITÀ di RAFFREDDAMENTO



$$L = d \sin \theta \cdot N$$

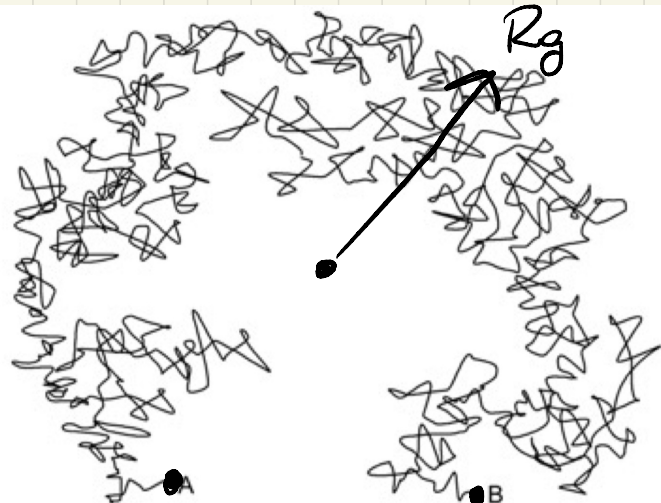
$$L = 0.1 - 1 \mu\text{m}$$

RANDOM COIL

$$L = d \sin \theta N^{1/2}$$

(cammino libero)

$$R_g \approx 0.3 \sqrt{PM_n}$$



$$R_g \approx 1 - 10 \text{ nm}$$

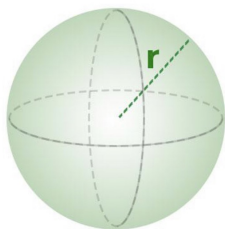
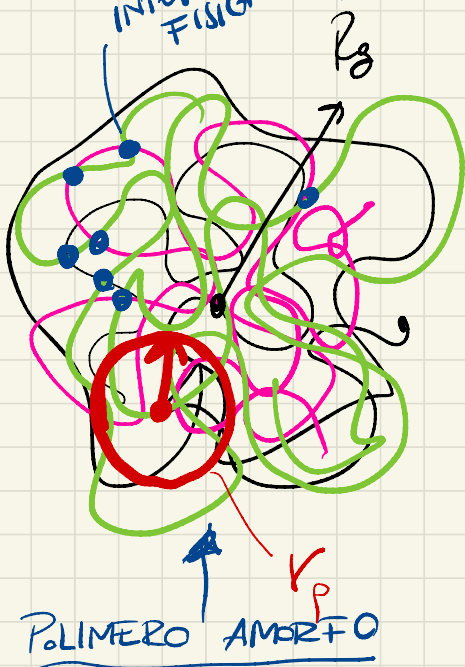
$$PM_n = 1000 \text{ g/mol}$$

(PS)

$$L \approx 750 \text{ mm}$$

$$R_g \approx 3 \text{ mm}$$

INTERSEZIONE
FISICA \rightarrow Entanglements



$$= \frac{4}{3} \pi r^3$$

$$r < R_g$$

$$\rho = 1 \text{ g/cm}^3$$

$$\rho = \frac{m}{V}$$

$$1 \text{ g} : 1 \text{ cm}^3 = \frac{1000 \text{ g}}{\text{Na}} : V$$

$$\rho M \left[\frac{\text{g}}{\text{mole}} \right]$$

$$1 \text{ mol} \approx 6 \times 10^{23}$$

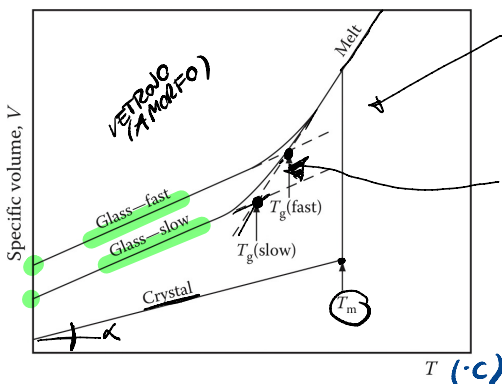
$$1 : 1 = \frac{10^4}{6 \times 10^{23}} : V$$

$$V = \approx 10^{-18} \text{ cm}^3$$

$$V = \frac{4}{3} \pi r^3$$

$$r = \sqrt[3]{\frac{10^{-18} \times 3}{4} \times \pi}$$

$[\text{cm}^3/\text{g}]$



• CRYSTALLINA
ORDINE a
CORTO RAGGIO e
LUNGO RAGGIO

- AMORFI
ORDINE a CORTO
RAGGIO MA
No ORDINE a
LUNGO RAGGIO

FIGURE 16.2 Variation of the specific volume with temperature for different materials. Examples are shown for the formation of a glassy polymer, by either slow or fast cooling, and the melting of a crystalline material at a temperature T_m .

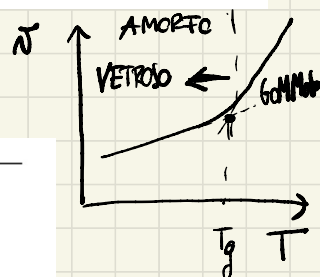
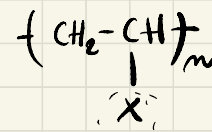
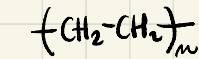


TABLE 16.1
Approximate Values of Glass Transition
Temperature, T_g , for Various Polymers

Repeat Unit	Polymer Name	$T_g/^\circ\text{C}$
$-\text{CH}_2-\text{CH}_2-$	Polyethylene	-130 to -10
$-\text{CH}_2-\text{CH}_2-\text{O}-$	poly(ethylene oxide)	-67
$-\text{H}_2\text{C}-\text{C}_6\text{H}_4-\text{CH}_2-$	poly(<i>p</i> -xylylene)	80
Vinyl polymers	Side group (X)	
$-\text{CH}_2-\text{CHX}-$	$-\text{CH}_3$	-23
	$-\text{CH}_2-\overset{\text{CH}_3}{\underset{ }{\text{CH}}}_3$	-24
	$-\text{CH}_2-\text{CH}_2-\text{CH}_3$	-40
	$-\text{CH}_2-\text{CH}(\text{CH}_3)_2$	30
	C_6H_5-	100
	$-\text{Cl}$	81
	$-\text{OH}$	85
	$-\text{CN}$	97

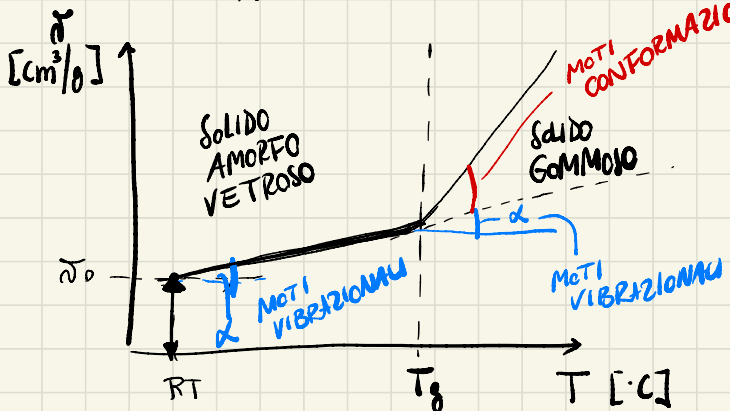


→ APPLICAZIONE
a $T \geq T_g$

TEMPERATURA di TRANSIZIONE VETROSA

→ Temperatura in corrispondenza della quale sono possibili movimenti coordinati e continuativi di segmenti di catena

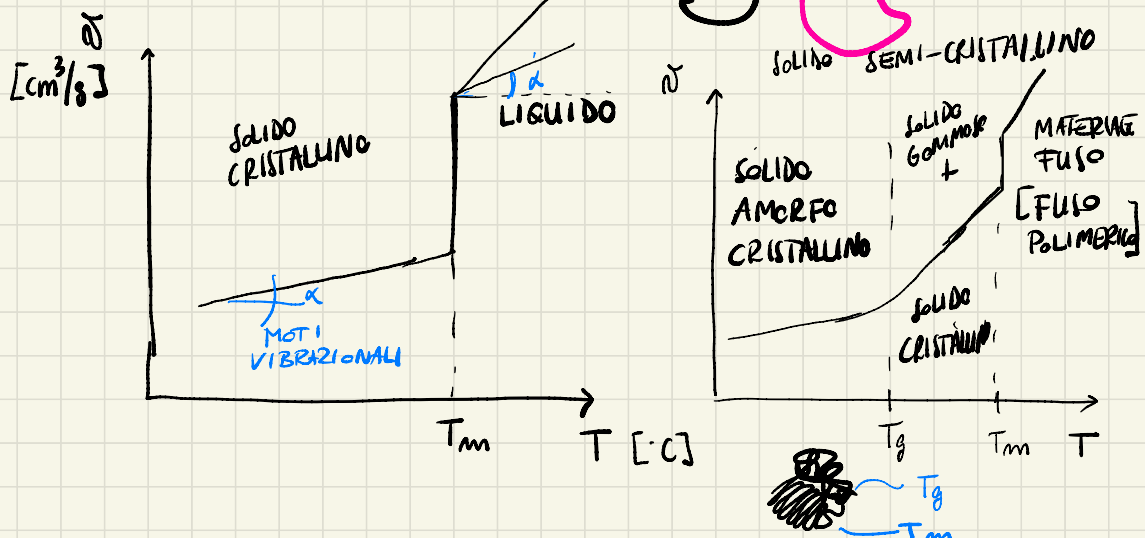
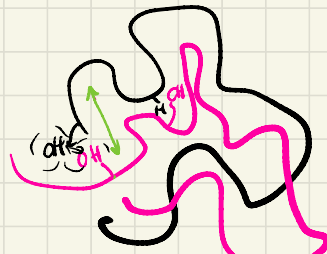
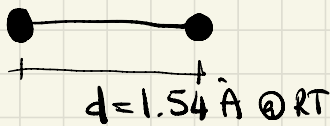
— AMORFO



α = Coef. di dilatazione termica lineare

$$! \quad \frac{\partial \alpha}{\partial T} \quad [10^{-6} \text{ °C}^{-1}]$$

Aumento dell'ampiezza dei moti vibrazionali degli atomi.



$$V = V_o + V_f$$

(16.8)

It is more convenient to talk in terms of fractional free volume f_V , which is defined as $f_V = V_f/V$. At and below the T_g , f_V is given by $f_g^* = V_f^*/V$ and can be considered as being effectively constant. Above the T_g , there will be an important contribution to V_f from the expansion of the melt. The free volume above T_g is then given by

$$\underline{V_f} = \underline{V_f^*} + (T - T_g) \left(\frac{\partial V}{\partial T} \right)$$

2.5%

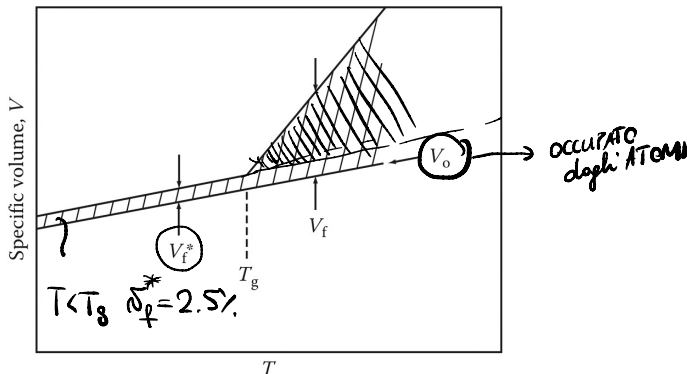


FIGURE 16.4 Schematic illustration of the variation of the specific volume V of a polymer with temperature T . The free volume is represented by the shaded area.

$$\eta_f \leftrightarrow \eta_{\text{viscosità}}$$

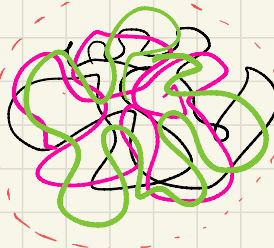
↓ VOLUME LIBERO

Determina l'interazione
tra le macromolecole

$$T < T_g$$

$$n_f^* = 2.5\%$$

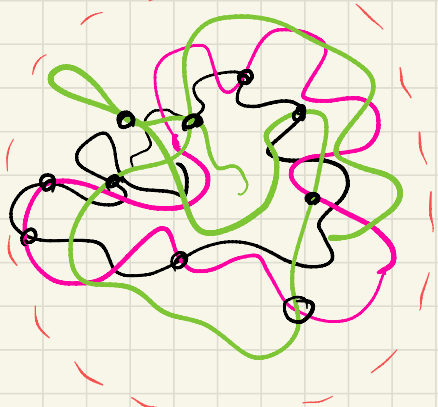
Sono POSSIBILI solo MOLTI
VIBRAZIONALI



- Sono PRESENTI legami chimici deondorii
- Sono presenti legami fisici (entanglements)

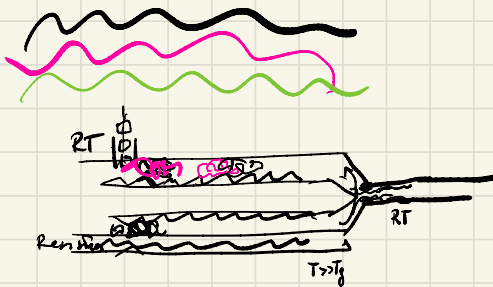
$$T > T_g$$

$$\bar{N}_f > \bar{\delta}_f^*$$



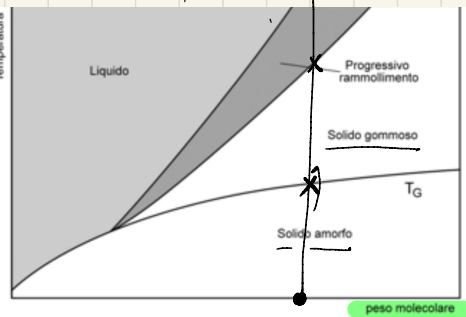
$$T > T_b$$

si rompono i legami fisici

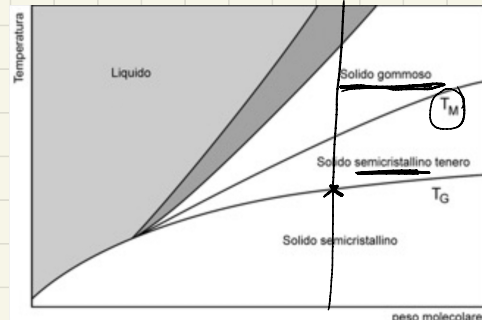


D. ESTRUZIONE

POLIMERO AMORFO



POLIMERO SEMICRISTALLINO



1. Sono possibili movimenti VIBRAZIONALI e CONFORMAZIONALI

→ Ha solo legami fisici (entanglement) fra le macromolecole

Tg dei copolimeri

$$f_V^A = f_g^A + (T - T_g^A) \alpha_f^A \quad (16.11)$$

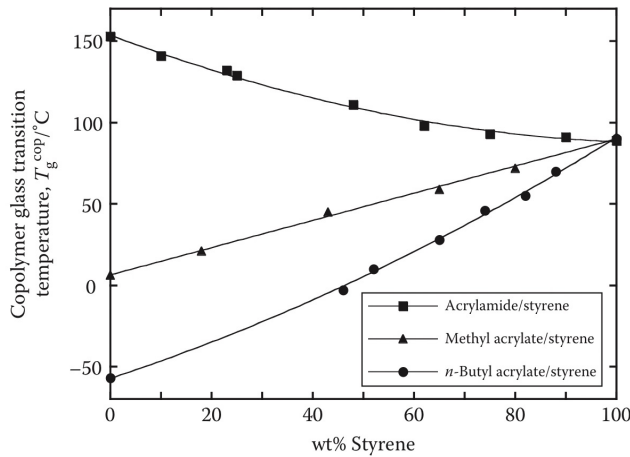


FIGURE 16.5 Variation of copolymer glass transition temperature with the weight fraction of styrene for various styrene-based statistical copolymers. (Data taken from Illers, K.H., *Kolloid-Zeitschrift.*, 190, 16, 1963.)